

**ЗОННАЯ СТРУКТУРА,  
ПЛОТНОСТЬ ЭЛЕКТРОННЫХ СОСТОЯНИЙ  
И ОПТИЧЕСКИЕ СВОЙСТВА ZnSnSb<sub>2</sub>,**

Полыгалов Ю. И., Басалаев Ю. М., Золотарев М. Л.,  
Поплавной А. С.

По методу псевдопотенциала с учетом спин-орбитального взаимодействия вычислена энергетическая зонная структура ZnSnSb<sub>2</sub> в основных симметрических точках, симметрических направлениях и некоторых специальных точках зоны Бриллюэна. Методом интерполяции энергетических зон симметризованными рядами Фурье вычислена плотность электронных состояний. Выполнено расчет распределения электронной плотности заряда с использованием одной специальной точки ( $\pi/2a$ ;  $\pi/2a$ ;  $\pi/c$ ) как полной, так и по связкам зон. Исследован генезис энергетических уровней в точке  $N$  для ZnSnSb<sub>2</sub> при переходе от сфалерита к халькопириту. Установлено, что из-за спин-орбитального взаимодействия и катионного замещения при переходе от сфалерита к халькопириту необходимо учитывать значительную гибридизацию уровней в точке  $L$  сфалерита с уровнями в точке  $\Sigma$  и нельзя интерпретировать оптические переходы в точке  $V$  как аналоги переходов  $L \rightarrow L$  в сфалерите. Вычисленные значения:  $E_g = 0.26$  эВ,  $\Delta_{kp} = 0.03$  эВ,  $\Delta_{co} = 0.87$  эВ.

ZnSnSb<sub>2</sub> является наименее изученным из всех соединений A<sup>II</sup>B<sup>IV</sup>C<sub>2</sub>. О факте существования данного сложного полупроводника впервые сообщалось в работах Горюновой с сотр. [1-3]. В этих работах получены поликристаллы ZnSnSb<sub>2</sub> при кристаллизации из раствора в расплаве олова с *p*-типа проводимости, со структурами сфалерита [1] и халькопирита [2, 3]. В [4-6] выполнены рентгенографические работы, исследовано тепловое расширение решетки, определены структурные параметры ZnSnSb<sub>2</sub>. Из анализа спектральной зависимости коэффициента поглощения кристаллов ZnSnSb<sub>2</sub>, измеренного при различных температурах в [7, 8], определены  $E_g = 0.30 \pm 0.01$  эВ (300 К), 0.4 эВ (300 К), а также  $\Delta_{co} = 0.92$  эВ. В [9, 10] измерены коэффициент Холла и удельное сопротивление; найденная при комнатной температуре эффективная масса дырок равна 0.25  $m_0$ .

В настоящей работе по методу эмпирического псевдопотенциала с учетом спин-орбитального взаимодействия выполнен расчет энергетической зонной структуры ZnSnSb<sub>2</sub> в симметрических точках  $\Gamma$ ,  $T$ ,  $N$ ,  $P$  на линиях симметрии и в некоторых специальных точках зоны Бриллюэна. Форм-факторы атомных псевдопотенциалов Zn, Sn и Sb определялись в приближении сферы Ферми по интерполяционному соотношению, предложенному в [11]. Учет спин-орбитального взаимодействия проводился в рамках модели, предложенной Вейсцем [12]. Параметры спин-орбитального взаимодействия тройного соединения определялись следующим образом: отношения параметров спин-орбитального расщепления  $\lambda_{Zn} : \lambda_{Sn} : \lambda_{Sb}$  выбраны в соответствии с аналогичными соотношениями рассчитанных в [13] величин для свободных атомов; единственный свободный параметр  $\lambda_0$  (обусловленный перенормировкой атомных волновых функций в кристалле) находился по экспериментальному значению спин-орбитального расщепления в центре зоны Бриллюэна и оказался равным  $\lambda_0 \sim 4 \cdot 10^{-3}$  Ry. Разложение псевдоволновой функции с учетом спина проводилось в точке  $\Gamma$  с учетом 374,  $N$  — 380,  $T$  и  $P$  — 368 плоских волн, на линиях и в специальных точках учитывалось около 370 плоских волн. При этом обеспечивалась сходимость энергетических уровней в пределах  $\leq 0.15$  эВ. Вычисление плотности состоя-

ний  $N(E)$  проводилось по методу разложения энергетических зон в симметризованные ряды Фурье [14].

Для выяснения влияния спин-орбитального взаимодействия на формирование энергетических зонами были выполнены вычисления энергетической зонной структуры  $ZnSnSb_2$  как с учетом, так и без учета спин-орбитального взаимодействия. Результаты расчетов представлены на рис. 1. Штриховая линия  $N(E)$  отвечает расчету без учета спин-орбитального взаимодействия. Найденные значения ширины запрещенной зоны  $E_g = 0.26$  эВ, кристаллического расщепления  $\Delta_{kp} = 0.03$  эВ и расщепления за счет спин-орбитального взаимодействия  $\Delta_{co} = 0.87$  эВ хорошо согласуются с имеющимися экспериментальными данными. Цифры на энергетическом спектре отвечают неприводимым представлениям соответствующих точек симметрии. При этом

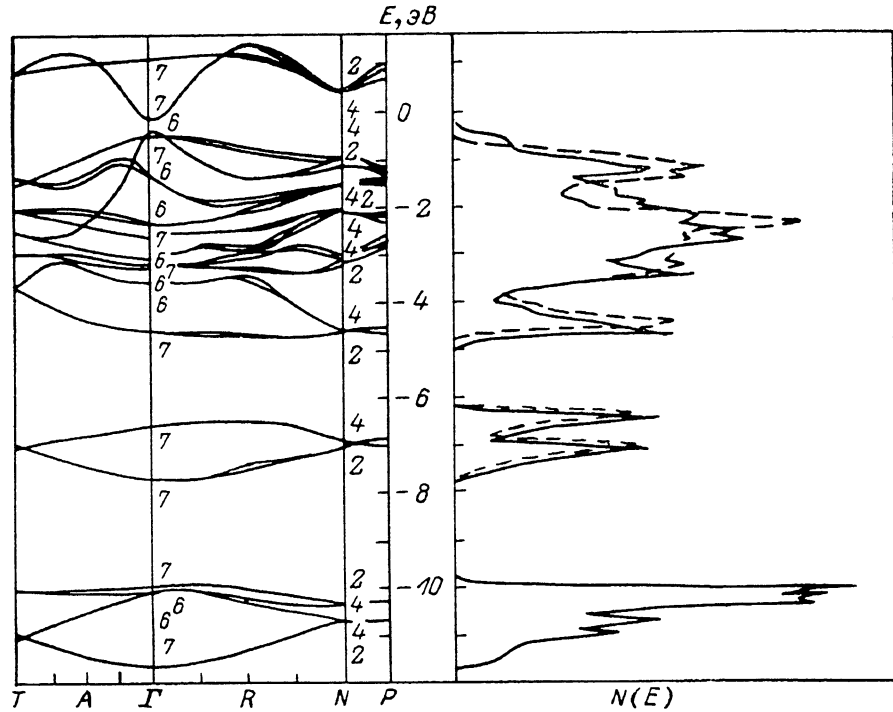


Рис. 1. Зонная структура валентной полосы  $ZnSnSb_2$  с учетом спин-орбитального взаимодействия.

в точке  $N$  цифра 2 относится к представлению  $N_2 + N_3$  и цифра 4 — к  $N_4 + N_5$ , в точке  $T$  уровни отвечают неприводимому представлению  $T_6 + T_7$ . За начало отсчета пики энергий взято положение дна зоны проводимости, так как оно в расчетах с учетом и без учета спина практически не меняется. Из рис. 1 видно, что наибольшие изменения спин-орбитальное взаимодействие вносит в строение вершины валентной зоны, нижние подзоны остаются неизменными, а валентная зона  $ZnSnSb_2$  имеет характерный для всех полупроводников  $A^{II}B^{IV}C^V$  вид [15] — состоит из трех разрешенных подзон. Верхнюю подзону удобно также разбить на две связки зон.

Мы рассчитали плотность заряда валентных электронов как полной, так и отвечающей отдельным связкам зон. При этом для вычисления распределения электронной плотности заряда использовались 328 спиновых плоских волн и одна специальная точка  $(\pi/2a; \pi/2a; \pi/c)$ , где  $a$  и  $c$  — постоянные решетки. С целью выявления роли спин-орбитального взаимодействия в формировании химической связи в  $ZnSnSb_2$  сделан расчет электронной плотности заряда валентных электронов  $\rho(r)$  с учетом и без учета спин-орбитального взаимодействия. Результаты расчета с учетом спин-орбитального взаимодействия представлены на рис. 2. Расчет показал, что учет спин-орбитального взаимодействия

приводит к количественному изменению распределения заряда валентных электронов. Происходит выравнивание максимумов зарядов на связях  $A-C$  и  $B-C$  и их смещение — на связи  $\text{Sn}-\text{Sb}$  в сторону аниона на величину  $\sim 0.112 \text{ \AA}$ , на связи  $\text{Zn}-\text{Sb}$  в сторону цинка на величину  $\sim 0.068 \text{ \AA}$ . В целом карты  $\rho(r)$  имеют такой же вид, что и в случае тройных фосфидов [15] и арсенидов [16]: над большим фоном заряда на анионе, несколько меньшем на катионах, заметны хорошо локализованные замкнутые контуры, характерные для соединений с чисто ковалентным характером химической связи. Смещение зарядов

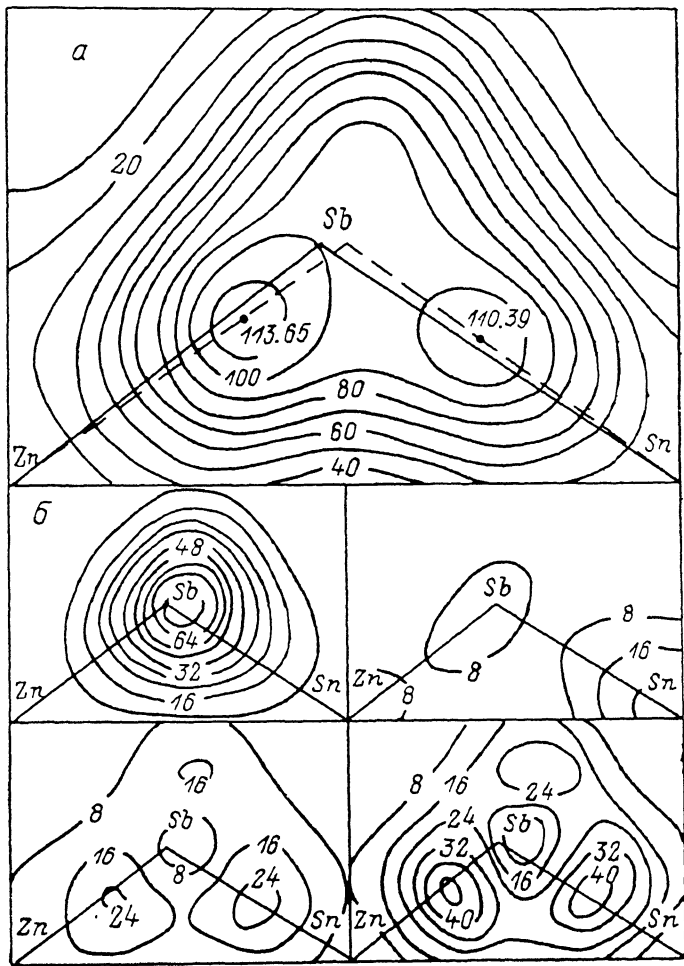


Рис. 2. Распределение плотности заряда валентных электропроводников (а — полное, б — по связкам зон) в плоскости (110)  $\text{ZnSnSb}_2$  с учетом спин-орбитального взаимодействия (в ед.  $e/\Omega$ ).

на связях к аниону и различные заряды на анионе и катионах обусловлены ионной составляющей химической связи. Таким образом, химическая связь в  $\text{ZnSnSb}_2$  носит смешанный ионно-ковалентный характер.

На рис. 2, б представлены распределения заряда для отдельных связок валентной зоны. Как видно из верхней левой части данного рисунка, нижней связке из четырех зон отвечает заряд, в основном локализованный на анионе и имеющий вид, характерный для распределения  $s$ -электронов. Следующая связка из двух зон (правая верхняя часть рис. 2, б) в основном построена из  $s$ -состояний олова, но со значительной примесью в основном  $p$ -состояний сурьмы и небольшой примесью  $s$ -состояний цинка. Третья связка из четырех зон (нижняя левая часть рис. 2, б) отвечает  $p$ -состояниям всех трех атомов, которые формируют одновременно связи  $A-C$  и  $B-C$ . Состояния верхней связки из

шести зон (нижняя правая часть рис. 2, б), соответствующие в основном  $p$ -составляющим цинка, сурьмы и частично  $p$ -составляющим олова, формируют в основном связь  $A-C$ , а также связь  $B-C$ . Кроме этого, установлено, что максимумы зарядов на связях (обозначенные на рис. 2, а точками) смещены не только по направлению к аниону от центров связей, но и в сторону от самих связей. Причём это смещение от связи  $A-C$  существенно больше, чем от связи  $B-C$ , и коррелирует со смещением аниона в кристалле. Надо отметить, что положение максимумов практически не меняется в расчетах с учетом и без учета смещения аниона. Следовательно, электронное облако на связи при реальном и «идеальном» расположениях аниона стремится занять положение, близкое к расположению, отвечающему структуре «идеальных» тетраэдров. На рис. 2 «идеальные» связи (для случая, когда смещение аниона равно нулю) показаны штриховой линией.

Нами исследован генезис энергетических уровней в точке  $N$  для  $ZnSnSb_2$  при переходе от сфалерита к халькопириту. Расчет проводился в три этапа. На первом этапе был получен зонный спектр в пренебрежении вкладом антисимметричной части псевдопотенциала ( $\Delta V_a$ ) относительно замены атомов II и IV групп, а также величиной спин-орбитального взаимодействия ( $\Delta_{co}$ ). На втором этапе было учтено спин-орбитальное взаимодействие и на третьем — полный расчет. Из анализа результатов расчета установлено, что к уровню с симметрией  $L_3$  в вершине валентной зоны ( $\Delta V_a=0$ ,  $\Delta_{co}=0$ ) близко примыкает уровень, происходящий из точки  $\Sigma$  сфалерита. При  $\Delta V_a=0$  и  $\Delta_{co} \neq 0$  восьмикратно вырожденный уровень  $L_3$  расщепляется на два дублета — ( $N_{2+3}^{15}$ ,  $N_{4+5}^{16}$ ) с симметрией  $L_4+L_5$  и ( $N_{2+3}^{11}$ ,  $N_{4+5}^{12}$ ) с симметрией  $L_6$ ; между этими дублетами оказывается дублет ( $N_{4+5}^{13}$ ,  $N_{2+3}^{14}$ ) с симметрией  $\Sigma_3+\Sigma_4$ . Здесь верхние индексыnum>ируют уровни энергии валентной зоны. Вершина валентной зоны соответствует уровню  $N_{4+5}^{16}$ . Включение  $\Delta V_a$  сильно смешивает эти дублеты. При этом вклад  $\Sigma$  состояний сфалерита в собственные функции уровней энергии оказывается значительным (свыше 20%). Таким образом, мы имеем дело с существенной перестройкой зонного спектра в точке  $N$  при переходе от сфалерита к халькопириту из-за спин-орбитального взаимодействия и катионного замещения, что не позволяет интерпретировать оптические переходы в точке  $N$  как аналоги переходов  $L \rightarrow L$  в сфалерите. Необходимо учитывать значительную гибридизацию уровней в точке  $L$  сфалерита с уровнями в точке  $\Sigma$ .

### Л и т е р а т у р а

- [1] Горюкова И. А., Барапов Б. В., Григорьева В. С., Крадинова Л. В., Максимова В. А., Прочухан В. Д. // Изв. АН СССР. Неорг. матер. 1968. Т. 4. В. 7. С. 1060—1063.
- [2] Горюкова И. А., Григорьева В. С., Крадинова Л. В., Прочухан В. Д. // Химическая связь в кристаллах. Минск, 1969. С. 439—446.
- [3] Горюкова И. А., Григорьева В. С., Крадинова Л. В., Прочухан В. Д. // Тр. КПИ. Кишинев, 1968. № 2. С. 10—14.
- [4] Вайполн А. А., Крадинова Л. В., Прочухан В. Д. // Кристаллография. 1970. Т. 15. В. 4. С. 820—821.
- [5] Вайполн А. А. // ФТТ. 1973. Т. 15. В. 5. С. 1430—1435.
- [6] Кожина И. И., Борщевский А. С. // Вестн. ЛГУ. 1975. № 22. С. 113—118.
- [7] Ивахно В. Н., Крадинова Л. В., Прочухан В. Д. // ФТП. 1969. Т. 3. В. 7. С. 1083—1085.
- [8] Бергер Л. И., Крадинова Л. В., Петров В. М., Прочухан В. Д. // Изв. АН СССР. Неорг. матер. 1973. Т. 9. В. 7. С. 1258—1259.
- [9] Kradinova L. V., Voropina T. I. // Phys. St. Sol. 1969. V. 32. N 2. P. K173—K174.
- [10] Scott W. // J. Appl. Phys. 1973. V. 44. N 11. P. 5165—5166.
- [11] Рангелов Й. М. // ФММ. 1982. Т. 53. В. 4. С. 628—638.
- [12] Weisz G. // Phys. Rev. 1966. V. 149. N 2. P. 504—518.
- [13] Herman F., Skilman S. Atomic structure calculation. Prentice-Hall, Englewood Cliffs. N. Y., 1963. 430 p.
- [14] Золотарев М. Л., Поплавной А. С. // ФТП. 1983. Т. 17. В. 6. С. 1143—1145.
- [15] Золотарев М. Л., Поплавной А. С. // Изв. вузов СССР. Физика. 1984. № 7. С. 118—119.
- [16] Чалдышев В. А., Захаров Н. А., Золотарев М. Л. // Деп. в ВИНИТИ АН СССР. М., 1977. № 4282-77.